

الخواص الكيميائية والفيزيائية للكثبان الرملية في الشرق الأوسط

علي الدوسري¹، صالح عوض²، مثنى الروي³، عبداللطيف الياقوت⁴، نور الدوسري¹، عبير الصالح¹، تينا وليم¹

¹ مركز أبحاث البيئة وعلوم الحياة، معهد الكويت للأبحاث العلمية، الكويت.

² قسم الجيولوجيا، جامعة بغداد، كلية العلوم، بغداد، العراق.

³ قسم الجغرافيا، كلية الزراعة، جامعة الأنبار، الرمادي، العراق.

⁴ قسم الجغرافيا، كلية العلوم الاجتماعية، جامعة الكويت، الكويت.

المستخلص

تم تحليل الخصائص الفيزيائية والكيميائية لرمال الكثبان الرملية في العراق والكويت والمملكة العربية السعودية وقطر والإمارات. تتواجد الكثبان الرملية في منطقة الدراسة بثلاثة أنواع: الكثبان المعزولة والمجموعات والأحرزمه. إقليمياً، تم التعرف على 4 مناطق من ممرات الكثبان المتحركة مع خصائص كيميائية وفيزيائية مختلفة. تعتبر حبيبات الكثبان الرملية في السهل الفيضي لبلاد ما بين النهرين (العراق) هي الأدق حجماً، ذات انحراف معياري رديء، مع نسبة سيليكا هي الأقل (أقل من 75%)، وتحتوي على 6-19% من الكربونات والفلدسبار وأعلى مساحة للحبيبات ($10-50 \text{ g/m}^2$) بالمقارنة مع الكثبان الرملية في منطقة الدراسة. تحتوي الكثبان في العراق على النسبة الأعلى بين الكثبان الرملية من المعادن الثقيلة والطينية والفلدسبار والكربونات مما يجعلها الأفضل للزراعة ويمكن تثبيتها بكفاءة من خلال مواد صديقة للبيئة أو نباتات محلية. الكثبان الرملية في شمال غرب شبه الجزيرة العربية وشمال شرق الكويت لها هيمنة لجزء الرمل خشن، ذات انحراف معياري جيد، مع كربونات وفلدسبار أقل من 1%， ومساحة سطح للحبيبات منخفضة ($<1 \text{ g/m}^2$) وتحتوي على نسبة عالية من السيليكا (فوق 98%) مما يجعلها أعلى الكثبان الرملية نقاوة في الشرق الأوسط وأجودها لصناعة الزجاج وإنتاج ألواح الطاقة الشمسية.

الكلمات المفتاحية: الكثبان الهلالية، حركة الرمال، السيليكا، الكربونات، الشرق الأوسط.

The Chemical and Physical Characteristics of Barchan Dunes in the Middle East

Ali Al-Dousari^{1*}, Salih Awadh², Muthana Alrawi³, Abdullatif Alyaqout⁴, Noor Al-Dousari¹, Abeer Alsaleh¹, Teena William¹

¹ Environment & Life Sciences Research Center, Kuwait Institute for Scientific Research (KISR), Kuwait.

² Geology Department, College of Sciences, University of Baghdad, Baghdad, Iraq.

³ Department of Soil Sciences, College of Agriculture, University of Anbar, Ramadi, Iraq.

⁴ Department of Geography, College of Social Sciences, Kuwait University, Kuwait.

Abstract

Sand physical and chemical properties of dune sand in Iraq, Kuwait, Saudi Arabia, Qatar, and the United Arab Emirates were analyzed. There are three types of sand dunes in the study area: isolated dunes, groups, and belts. Four regional zones of mobile dune corridors with different chemical and physical properties have been identified. The sand dune grains of the Mesopotamian flood plain (Iraq) are the finest in size, with poor standard deviation, with a purity of silica (<75%), containing 6-19% carbonates and feldspar, and with the highest grain area ($10 - 50 \text{ g/m}^2$) when compared to sand dunes in the study area. The dunes in Iraq contain the highest ratio of heavy metals, clay, feldspar, and carbonate among sand dunes, which makes them the best for agriculture and can be fixed and stabilized efficiently by environmentally friendly materials or native plants. The dominant sand dunes in Northwest Arabia and Northeast Kuwait are coarse sands of good standard deviation, with less than 1% carbonate and feldspar, low grain surface area ($<1 \text{ g/m}^2$), and high silica content (above 98%) Which makes it the highest purity sand dunes in the Middle East and the best for manufacturing glass and PV panels.

Keywords: Barchan, sand movement, silica, carbonates, The Middle East.

المقدمة

تعتبر منطقة الشرق الأوسط منطقة صحراوية يغلب عليها المناخ الجاف والحار والعاصف. يتجلّى جفافه المناخي من خلال الاختلافات اليومية والشهرية في درجة حرارة الهواء. يشير الملخص الإحصائي لبيانات الأرصاد الجوية في الكويت ومحيطها لمدة 50 عاماً إلى أن متوسط درجة الحرارة في الصيف (يونيو - أكتوبر) هو 37.40°C (Tang 2006 وآخرون 2015 وSubramanian 2015). هطول الأمطار متغيرة ومنخفض بمعدل 115 مم كمتوسط سنوي لسقوط الأمطار في الكويت (Al-Ghadban 2022 وآخرون 2015) 157 ملم في بغداد (Al-Dousari 1999) و111 ملم في الرياض (Bamousa 2014 وآخرون 2015 وBenaafi 2015) و72 مم في العين (الإمارات العربية المتحدة Ahmed 2009) وآخرون 2009 100 مم في الدوحة (Al-Shemmari 2013). تهب الرياح في الغالب من الشمال الغربي حوالي 60% من إجمالي اتجاهات الرياح في شمال شبه الجزيرة العربية والعراق (Khalaf 1995) في حين تهب الرياح من اتجاهات أخرى بمدى أقصر وأقل تواترا (Al-Hazza 2019 وآخرون 2019).

*Corresponding author.

Email: adousari@kisr.edu.kw

<https://doi.org/10.36531/ijds.2023.145007.1055>

Received 5 July 2023; Received in revised form 15 August 2023; Accepted 15 August 2023

تصنف الكثبان حسب نمط حركتها طبقاً لدراسات Tsoar وPye (1990) و Ahmed وآخرون (2009) و Al-Awadhi (2013). إلى ثلاثة أنواع، وهي: الكثبان الرملية المتحركة أو حرة الحركة، والكثبان الثابتة والمقيدة. تنتشر في شمال شرق شبه الجزيرة العربية والعراق، الكثبان الهلالية حرقة الحركة بنسبة تصل إلى 80% من مجمل الكثبان الرملية (Al-Dousari وآخرون، 2005, 2009, 2023). غالباً ما تظهر الكثبان الهلالية بالقرب من مصدرها في المناطق المحيطة ببحر الرمال في النجف في العراق، وخاصة في اتجاه الرياح بعد الأدمع المتقدمة للكثبان الخطية (Saadallah و Skocek 1972) استخدم (Al Dabi وآخرون، 1997) جهاز رسم الخرائط الحراري في القمر الصناعي (TM) مع دقة تصل إلى 30 متراً في حساب الكثبان الرملية في الكويت. وفقاً لتحقيقاتهم تم تحديد 444 و567 و530 و1530 و2121 لاندستات (TM) في الكويت في 1985 و1989 و1992 و1994 على التوالي. على الرغم من الزيادة الكبيرة في عدد الكثبان الرملية من عام 1989 إلى عام 1992 في الكويت والعراق والتي تعزى إلى الأنشطة المصاحبة لحرب الخليج (1990-1991) إلا أنه لا يمكن استبعاد عوامل أخرى مثل التأثير البشري وأو التغيرات في الظروف المناخية خلال الفترة من 1980 إلى 2018 كما أشار (Al-Dousari وآخرون 2020). إن زيادة فترات الجفاف هو عامل مهم في نشاط الكثبان الرملية والتي يتوقع ارتفاع حدتها في المناطق المتدهورة التي تتواجد فيها الكثبان النشطة المصحوبة بمناطق النبات أو الكثبان المقيدة بفعل النباتية (Al-Dousari وآخرون 2019). لاحظ (Wolfe وآخرون 1997) في المروج الكندية أنه خلال الهولوسين، يختلف نشاط الكثبان الرملية في الاستجابة للتغير الجفاف والغطاء النباتي المصاحب. كما أشار (Wolfe وآخرون 1997) إلى أن نشاط الكثبان تغير بشكل سريع استجابة للتغيرات في درجة الحرارة وهطول الأمطار حتى بعد فترات الجفاف القصيرة. انعكس التغير في النشاط في السمات الدقيقة لجسيمات الرمل (Al-Dousari وآخرون 2020^{a&b}) وتذبذب الملوثات (Halos وآخرون 2021) والنوبات المشعة ضمن رواسب الرياح من الغبار والرمال الساسية في المنطقة (Aba وآخرون 2016, 2018).

ويقدر المتوسط السنوي لانجراف الرمال في الكويت بـ 99.596 كجم/متر. يبلغ أعلى متوسط لصافي تدفق الرمال 18.620 كجم/متر في شهر يونيو، بينما في ديسمبر هو أدنى صافي تدفق يبلغ 0.592 كجم/متر، مما يشير إلى أن أقصى انجراف رملي خلال فصل الصيف مقارنة بغيره المواتس (Al-Awadhi وآخرون 2000).

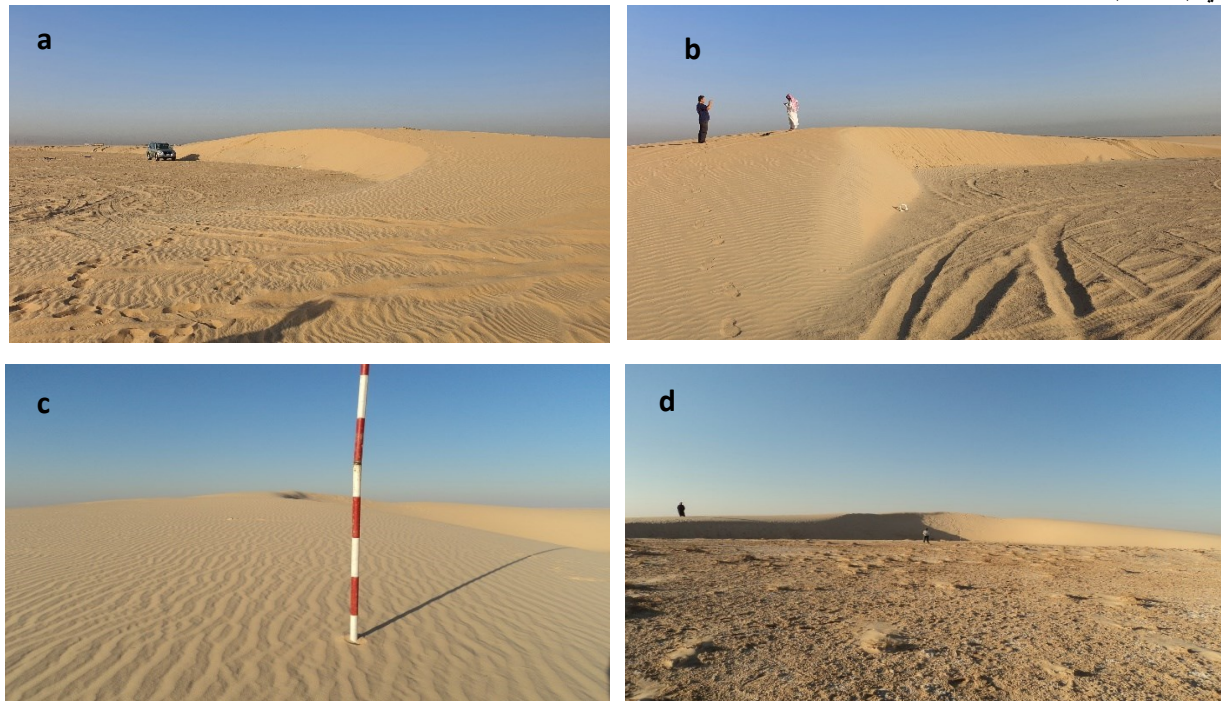
لا يزال بـدء وتحرك الكثبان الرملية والعمليات المصاـحة لنشـاط الـرياح من بين الجـوانب الأقل فـهما في منـطقة الشـرق الأوسط (Al-Dorozzo 2019 ; Dousari 2019) . أدى التـابـين في مـعـدلـات إـمـدادـات الرـمال، وـالـسـرـعة العـالـيـة، وـهـيـمـنة الـريـاح أحـادـيـة الـاتـجـاه إـلـى مـجمـوعـة مـتـوـعـة مـنـ تـكـوـيـنـات الكـثـبـان المـعـقـدـةـ والمـرـكـبـةـ والمـبـسيـطـةـ (Ahmed and others 2016) . تـقـمـ الكـثـبـان الـهـلـالـيـةـ مـنـ خـلـالـ عمـلـاتـ التـاكـلـ منـ عـلـىـ سـطـحـ الـانـزـلـاقـ وـالـترـسـيبـ فـيـ منـصـرـفـ الـريـاحـ السـائـدـةـ (Lancaster 2004)ـ مـنـ نـاحـيـةـ أـخـرىـ ذـكـرـ Ajmi and others (1994)ـ أـنـ تـكـوـيـنـ الكـثـبـان الرـمـلـيـةـ يـبـدـأـ مـنـ تـراـكـمـ بـقـعـ رـمـلـيـةـ مـسـطـحةـ بـمـسـاحـةـ حـوـالـيـ 80ـ إـلـىـ 100ـ مـ²ـ بـارـتفاعـ 30ـ سـمـ مـنـ مـسـتـوـيـ الـأـرـضـ وـعـلـيـهـ يـصـبـحـ النـمـوـ الـمـسـتـمرـ لـلـتـلـالـ يـشـكـلـ بـقـعـ رـمـلـيـةـ وـفـيـ النـهـاـيـةـ يـشـكـلـ الكـثـبـانـ الرـمـلـيـةـ لـاحـظـ (Al-Dousari 1998)ـ أـنـ صـورـ الـقـمـ الـاصـطـنـاعـيـ لـانـدـسـاتـ ، باـسـتـخـدامـ الـنـطـاقـاتـ 2ـ وـ 5ـ وـ 7ـ ، لاـ تـفـقـرـ بـيـنـ الـأـواـحـ الرـمـلـيـةـ السـمـيـكـةـ وـالـرـقـيـقـةـ . وـذـكـرـ أـيـضـاـ تـكـونـ فـرـشـاتـ الرـمـلـيـةـ الـمـتـحـرـكـةـ السـمـيـكـةـ وـالـمـتـوـاجـدةـ حـولـ الـكـثـبـانـ الرـمـلـيـةـ ، فـيـ حـيـنـ تـظـهـرـ فـرـشـاتـ الرـمـلـيـةـ الـرـقـيـقـةـ فـيـ نـهـاـيـةـ اـتـجـاهـ الـكـثـبـانـ الرـمـلـيـةـ الـمـتـحـرـكـةـ فـيـ مـمـرـ الـكـثـبـانـ الرـمـلـيـةـ مـاـ يـشـيرـ إـلـىـ أـنـ الـكـثـبـانـ الرـمـلـيـةـ هـ أـحـدـ المـصـادـ الرـئـيـسـ لـلـفـرـشـاتـ الرـمـلـيـةـ ، وـالـرـمـالـ ، السـافـةـ وـالـرـيـاحـ . تـسـبـبـ التـاكـمـاتـ الـرـمـلـيـةـ فـيـ الـمـنـطـقـةـ .

تمت دراسة الاختلافات في الخصائص الحجمية لنوع الكثبان الرملية في منطقة الشرق الأوسط ومقارنتها مع مثيلاتها في العالم من قبل (Pye و Al-Dousari 2005). وجد Saadallah و Skocek (1972) تشابهًا وثيقاً في التركيب المعدني والكيميائي بين الكثبان الرملية في العراق وترسبات السهول العرضية المحاطة ببلاد ما بين النهرين. ذكر (Al-Dousari وآخرون 1998) أن التركيب المعدني للكثبان الرملية الهلالية في شمال غرب الكويت يماثل نظيره في الكثبان المعاكسة في الجانب العراقي. وأشار (Al-Dousari وآخرون 1998) إلى أوجه التشابه الوثيقة في الخواص الكيميائية والفيزيائية بين الكثبان الرملية في شمال غرب الكويت مع رواسب تكوين الدبدبة، وخلص إلى أن تكون الدبدبة يعمل كمصدر رئيسي للرواسب للكثبان الرملية في شمال غرب الكويت حيث يمتد تكوين الدبدبة من السماوة والنجف شمالاً حتى طريق السالمي في الكويت جنوباً وتكون من رواسب (ملة فضيه قديمة (الليلستوسين)) تحمي، عل، الصليوخ، وراس الكلس، والطين.

يعد وجود الكثبان الرملية مع حركتها من أهم المعوقات التي تعرّض مشاريع التنمية الاقتصادية، حيث تهاجم الرمال مساحات كبيرة من الأراضي الزراعية مما يؤدي إلى تدهور الأراضي وخسائر كبيرة للمزارعين وهجرة السكان من أماكنهم. تقدر مساحة الكثبان الرملية في العراق بـ 4 ملايين فدان (Al-Kaabi وآخرون 2008) إن زحف الرمال على المستوطنات البشرية الناتج عن حركة الكثبان الرملية له عواقب اجتماعية واقتصادية ضخمة (Al-Dousari وآخرون 2020 ; Al-Dousari 2019^a ; Ahmed Al-Dousari وآخرون 2013). دراسة الكثبان أمر في غاية الأهمية من الناحية البيئية والاقتصادية للبيئات الأرضية والبحرية (Al-Enezi 2014 ; Khan وآخرون 1999).

من ناحية أخرى، يمكن أن تسبب حركة جزيئات الغبار والرمل المتحرك في إلحاق الضرر بالمزارع (Al-Dousari وآخرون 2000 Dousari؛ والبني التحتية الرئيسية (Neelamani 2015) وآخرون Neelamani؛ والطرق (Al-Dousari 2016) وآخرون 2009) والألوان الكهروضوئية (Al-Dousari وآخرون 2009^b).

لكثبان التي تحتوي على المزيد من الفلسبار والكربونات والمعادن الثقيلة والطينية هي الأجدود للزراعة والتثبيت البيولوجي، وبالتالي يمكن تثبيتها بمواد صديقة للبيئة أو نباتات فطرية بشكل أسرع وأسهل من الكثبان التي تحوي على نسب أقل (Al-Dousari 2009؛ Al-Dousari وآخرون 2015؛ Ahmed و Al-Dousari 2008^a؛ Misak وآخرون 2007)، وتعتبر النباتات الفطرية والأحزمة الخضراء أكثر وسائل التحكم كفاءة في تثبيت الكثبان الرملية المتنقلة في الدول الصحراوية (Al-Dousari وآخرون 2019^c)، إذ تهدف الدراسة إلى توفير فهم أفضل لتوزيع الكثبان، وخصائصها الكيميائية والفيزيائية في المنطقة من خلال رصد شامل للدراسات التي قامت حول الكثبان الهلالية في المنطقة. كما في (الشكل 1).



شكل 1. كثبان هلالية في (a, b) شمال شرق الكويت و (c, d) جنوب العراق (النجف).

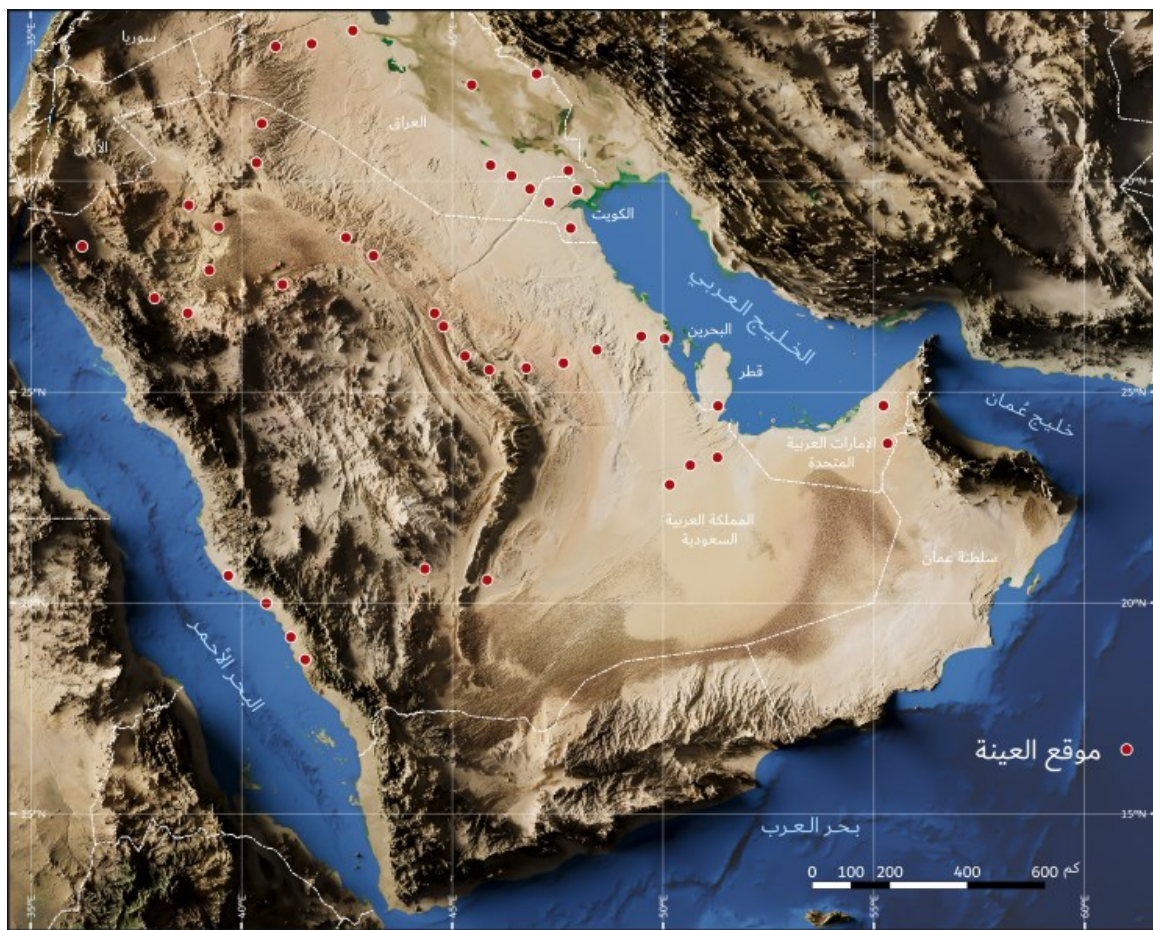
*The figure above shows, (a, b) Crescent dunes in northeast Kuwait, and (c, d) southern Iraq (Najf).

المواد وطرق العمل

تم جمع ما يقرب من 1000 عينة رملية من أنواع تمثيلية للكثبان الحرة في الكويت والعراق والجزيرة العربية (الشكل 2). تم اختيار كل نوع من الكثبان الرملية التجريبية من حقول الكثبان الرملية الموجودة بناءً على الخبرة الشخصية والعمل الميداني المكثف وتحليل صور الأقمار الصناعية. تم إجراءات الفرز الحجمي للرمال لجميع العينات باستخدام النخل الفياسي على فترات زمنية بحجم ربع فاي لمدة 15 دقيقة باستخدام جهاز هز ميكانيكي. تم حساب معلمات الحجم الإحصائي باستخدام طريقة Folk and Ward (1957). تم استخدام برنامج GRADISTAT لحساب التحليل الذي أجرأها باحثون عديدون في الشرق الأوسط بما في ذلك Benaafy and Abdullatif (2015)؛ Awadh (2012)؛ Ghadban (2000)؛ Al-Ghadban (1999) وآخرون 2000؛ والجزء العادي (الشكل 2).

تم إجراء تحليل العناصر الرئيسية والنادرة باستخدام جهاز ومandan الأشعة السينية (XRF). يعد التحليل الجيوكيميائي باستخدام XRF أداة قيمة لأخذ بصمات الرواسب ذات المصدر المحتمل ومقارنتها بالرواسب المنقلة عبر الرياح من مناطق مختلفة. وتم استخدام جهاز Hitachi 3000 ذو الضغط المتغير SEM المجهز بعواكس للتعرف المعدني وتحليل العينات من خلال دراسة العناصر الرئيسية الموجودة ضمن الشوائب

المكتشفة في الكوارتز والفلسبار والجسيمات الأخرى بعناية. تم قياس مساحة سطح العينات باستخدام أداة قياس مساحة سطح كولتر (SA 3100) يتم تحويل قيمة قياس مساحة السطح بالمتر المربع لكل جرام تلقائياً من سعة الطبقة الأحادية بواسطة الجهاز.



شكل 2. موقع أخذ العينات للكثبان الرملية في الشرق الأوسط.

*The figure above shows Sampling sites for sand dunes in the Middle East.

النتائج والمناقشة

توزيع الكثبان

تنتشر الكثبان الرملية في العراق والجزيرة العربية. تتشكل في ثلاثة أشكال، وهي الأهرنة والمجموعات والفرادي المنعزلة. تعطي الكثبان الرملية المنفردة أو المنعزلة ومجموعات الكثبان الهلالية أكثر من 80% من بعض مناطق حزام الكثبان الرملية. التصنيف التقليدي متعدد الأطيف عبر صور الأقمار الاصطناعية لا يوفر نتائج دقيقة لتصنيف الكثبان الرملية، لأنه لا يمكن تمييز الكثبان بناءً على خصائصها الطيفية وحدها حيث تلعب الخصائص النسيجية للكثبان وشكلها وحجمها دوراً هاماً في تحديد النوع. إن المساحة الأصغر للكثبان الرملية والبصمة الطيفية المماثلة لغشاءات الرمل تجعل من الضروري دمج التصنيف الحجمي في مخطط التصنيف للكثبان. تتميز الكثبان بأشكال وأحجام متعددة بناءً على سرعة الرياح واتجاهها نتيجة لتدحرج الأرضي والنباتات الطبيعية. تنتشر الكثبان الرملية في العراق على شكل حزام على جانبي نهر الفرات، يمتد من شمال بيحي في الشمال الغربي إلى الحدود الجنوبية للعراق بعرض يتراوح من 5 إلى 25 كم. وبطبيعة الحال، فإن نشاط الرياح لعدة مرات على مدار العام، ترتفع كميات كبيرة من الحبيبات السطحية في شكل رمل وكثبان أخرى من الغرين والطين، وعندما تضعف سرعة الرياح أو تعيقها العوائق، يتم ترسيب الجسيمات لتشكيل الكثبان من مختلف الأشكال والأحجام. تقع الكثبان الرملية على يمين نهر الفرات وتسمى كثبان السماوة بحوالي 181000 فدان، بينما تغطي تلك الموجودة على يسار النهر 90800 فدان فقط.

خصائص حبيبات الكثبان

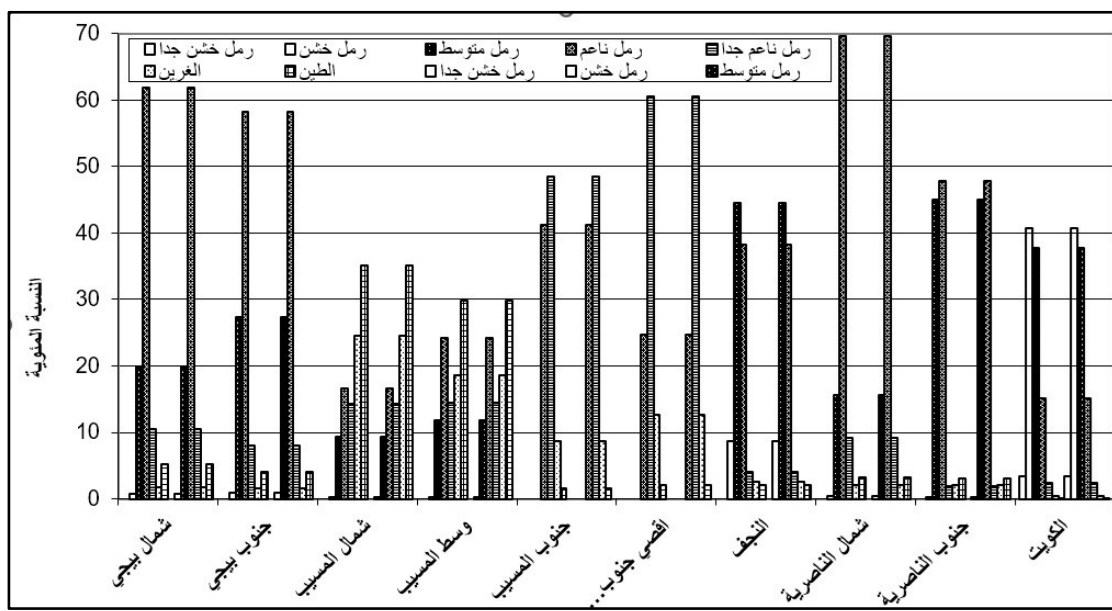
البيانات الإحصائية للكثبان المدروسة متغيرة إقليمياً. القطر المتوسط لحجم الرواسب في سهل الغضان في بلاد ما بين النهرين هو أدق من الكثبان الرملية الأخرى على المستوى الإقليمي. رواسب الكثبان في الكويت أكثر خشونة من الكثبان المحيطة في العراق وال سعودية و قطر والإمارات. يظهر متوسط حجم حبيبات رمال الكثبان الرملية مع اختلافات واسعة تتحول بين 1.3 فاي و 3.1 فاي حيث تظهر الكثبان الهلالية في الكويت حجماً متوسطاً أكبر، وفرزاً محسناً، و انحرافاً معياري أكثر تماساً مقارنة بتلك الكثبان القريبة التي تقع عكس حركة الكثبان في العراق و منصرف حركة الكثبان في المملكة العربية السعودية (الجدول 1). قد تُعزى النسبة المرتفعة من الرواسب الدقيقة داخل الكثبان الرملية في العراق إلى موقعها بالقرب من السهل الغيضي للرافدين والذي يعمل كمصدر رئيسي للرواسب الدقيقة (الشكل 3). حيث تحوي الكثبان والسبخات على رواسب أكثر خشونة من غيرها من الرواسب. ومع ذلك، كانت الدراسات حول الكثبان المنطقية محدودة، وبالتالي، كان المحتوى المتاح مرتبطاً بـكثبان كبيرة (الكتبان الخطية) تظهر أن الكثبان المنطقية المدروسة تُظهر متوسط حجم حبوب أكبر، وفرزاً أفضل و ذات انحراف معياري متناسق.

جدول 1. المعلمات الإحصائية المقارنة لنوع الكثبان الهلالية في البحار الرملية المختلفة.

الموقع	المتوسط	الانحراف المعياري	معامل الانتواء	التفرطح
بحيرة الحمار (العراق) ¹	2.6	0.93	-0.19	1.04
الزبير (العراق) ²	1.95	0.93	0.25	0.92
كتبان بيجي (العراق) ³	1.85	0.82	0.27	1.39
المسيب (العراق) ³	3.08	0.99	0.02	0.9
النجف (العراق) ³	2.04	0.52	0.32	0.94
السمواة (العراق) ⁴	2.05	0.73	0.04	1.11
الناصرية (العراق) ⁴	2.42	0.35	0.04	1.32
نفود رمحات (السعودية) ⁵	1.88	0.57	0.32	1.53
البحر الأحمر (السعودية) ⁵	2.6	0.46	0.04	0.99
بحر الرمال، الجافورة (السعودية) ⁵	2.02	0.95	0.35	1.12
قطر	1.93	0.48	0.09	0.72
شمال شرق الكويت	1.67	0.65	0.04	1.26
شمال غرب الكويت	1.28	0.72	0.23	1.1
المتوسط	2.09	0.7	0.15	1.13

(Abdullatif ; 1972⁴ SaadAllah و Skocek ; 1984³ Dougrameji ; 2008⁵ Al-Dousari .; 1972¹ SaadAllah و Skocek و آخرون) (2015 Benaafi

*The table above shows Comparative statistical parameters of barchan type in different sand seas.



شكل 3. الرسم البياني توزيع حجم الجسيمات من اتجاه الريح في العراق إلى اتجاه الريح في الكويت.

*The figure above shows Graph of particle size distribution from the wind direction in Iraq to the wind direction in Kuwait.

المعادن والعناصر الرئيسية والتقليدية

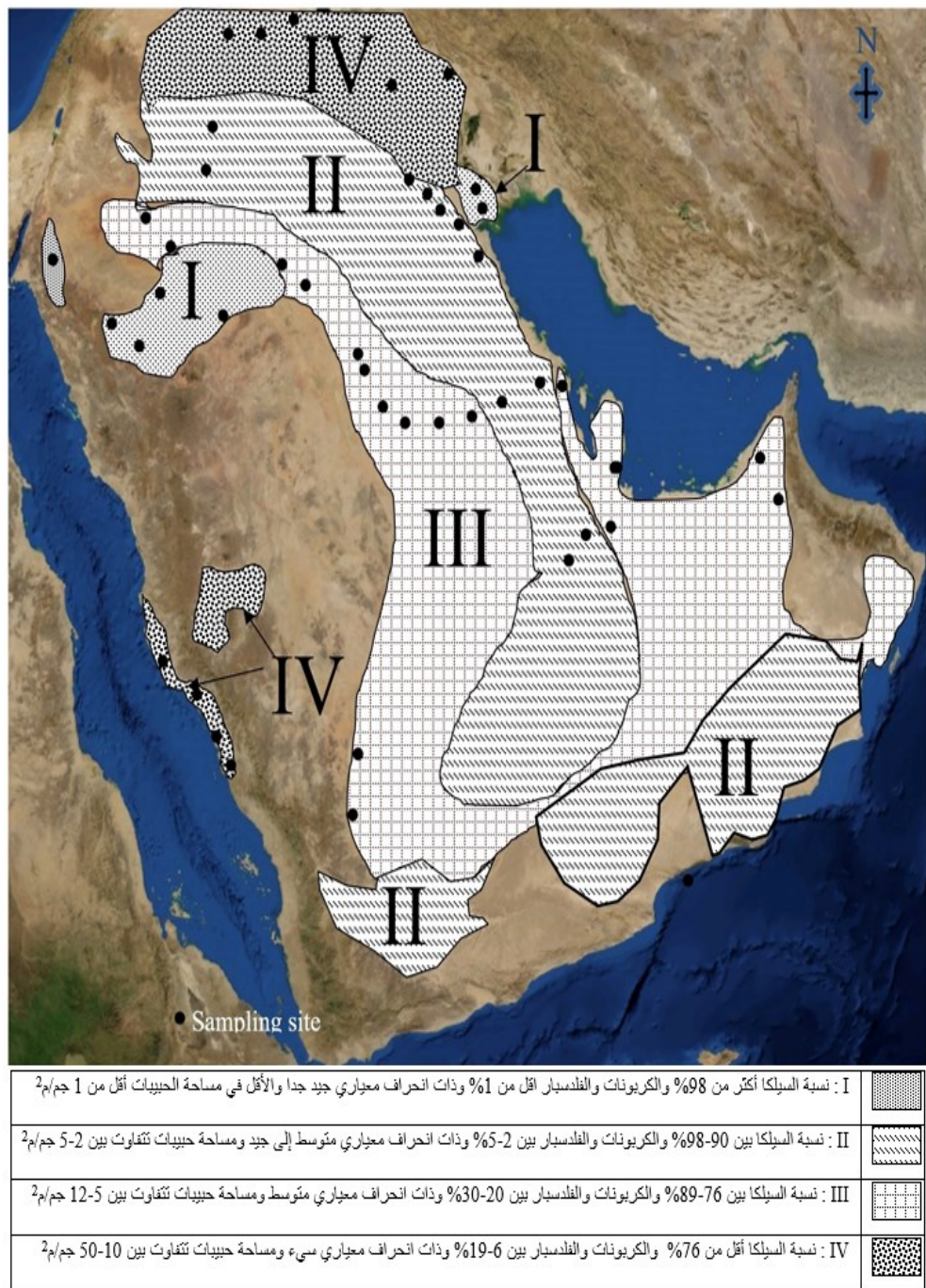
تظهر النسب المعدنية شبه الكمية انخفاضاً في نسب الكوارتز في العراق وسهل الغيضانات في بلاد الرافدين بالمقارنة مع مثيلاتها في الكويت والسعودية وتشابها مع النسب المتواجدة في كثبان الإمارات وقطر. يوجد أعلى درجة نقاء من الكوارتز في مجالين رئيين؛ شمال غرب شبه الجزيرة العربية والكويت (الجدول 2) حيث يتميز كل قطاع من القطاعات بمميزات معدنية وفيزيائية خاصة (الشكل 4).

جدول 2. متوسط النسب المعدنية لكثبان هلالية في الشرق الأوسط.

الموقع	القطاع	الكوارتز	الفليسبار	الكلاسيت	الدولومايت	الجبس	آخرى
شمال العراق	IV	75	12	10	2	0.5	0.5
شرق العراق	IV	68.9	10	15.1	3.5	1.3	1.2
غرب العراق	IV	64.4	22.5	5	1	0.5	6.6
جنوب غرب العراق	IV	49.6	11.1	19.2	2.3	4.6	13.3
شمال غرب الكويت	II	92.9	2.8	2.9	0.6	0.4	0.4
شرق السعودية	II	87.7	5.8	6	0.5	0	0
جنوب شرق السعودية	III	91.4	3.8	4.8	0	0	0
شمال غرب السعودية	I	100	0	0	0	0	0
جنوب غرب السعودية	III	78.5	2.6	18.1	1.8	0	0
قطر	III	75	13	9	2	0.5	0.5
الإمارات (العين)	III	68.1	0.58	29.9	1.3	0	0.1
المتوسط		77.4	7.7	10.9	1.4	0.7	2

(2015³ Benaafi و Abdullatif ; 1984²Dougrameji ; 1972¹ SaadAllah و Skocek)

*The table above shows the Average mineral levels of crescent dunes in the Middle East.

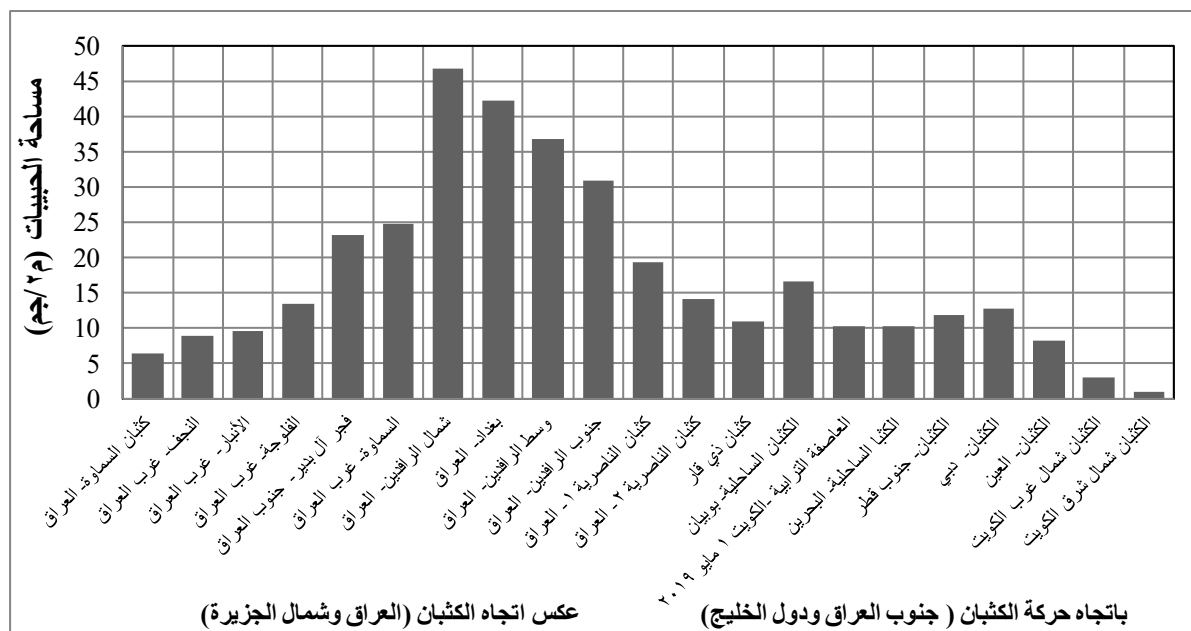


شكل 4. شكل موجز عن القطاعات الأربع الرئيسية للكثبان الرملية المصنفة حسب الخصائص الفيزيائية والكيميائية.

*The figure above shows the four main areas of sand dunes classified according to physical and chemical properties.

المساحة السطحية لحبيبات الكثبان الرملية

تراوحت مساحة سطح الحبيبات لرمال الكثبان الرملية بين 1 متر مربع/جرام و 47 متر مربع/جرام. كلما اقتربت العينات من سهل فيضان بلاد ما بين النهرين، زادت مساحة السطحية (الشكل 5). يمكن أن يعزى ذلك إلى المحتوى العالى من معادن الطين والكربونات والمعادن الثقيلة مقارنة بالعينات في شبه الجزيرة العربية والكويت التي تمتاز بنسب أقل.



شكل 5. التفاوت في المساحة السطحية لحببيات رمال للكثبان إلى منصرفها تظهر مساحة السطح العالية في الكثبان داخل سهل الرافدين بالمقارنة بما قبلها وبعدها.

*The figure above shows the variation in the BET-surface area of dune sand particles and wind deposits from upward to downward, showing the high surface area of the dunes within the Mesopotamian Flood Plain compared to before and after them.

الاستنتاج

- إقليمياً، هناك 4 مناطق لممرات الكثبان المتحركة مع قسمت حسب خصائصها الكيميائية والفيزيائية (الشكل 4)، وهي:
 - المنطقة الأولى: الكثبان الرملية في شمال غرب شبه الجزيرة العربية وشمال شرق الكويت مع هيمنة حجم الرمال الخشنة، مغروزة جيداً، مع الكربونات والفلدسبار >1٪، ومساحة سطح الحبيبات منخفضة (1 جم / م^2) وتحتوي على نسبة نقاوة عالية من السيليكا (أعلى من 98٪) مما يجعلها أعلى رمال كثبان نقاوة في الشرق الأوسط. هذه هي أكثر الكثبان الرملية لتصنيع الزجاج والخلايا الكهروضوئية.
 - المنطقة الثانية: الكثبان الرملية في شرق شبه الجزيرة العربية التي تمر عبر الكويت باتجاه صحراء الربع الخالي، مع هيمنة حجم الرمال المتوسطة، مغروزة بشكل متعدل، مع سيليكا نقية معتدلة (90-98٪)، تحتوي على 2-5٪ من الكربونات والفلدسبار ومساحة حبيبات تتراوthing بين $2-5 \text{ جم / م}^2$.
 - المنطقة الثالثة: الكثبان الرملية في شمال ووسط شبه الجزيرة العربية المارة على حدود صحراء الربع الخالي بما في ذلك قطر والإمارات مع هيمنة حجم الرمال المتوسطة، مغروزة بشكل متعدل، مع السيليكا النقية باعتدال (76-89٪)، تحتوي على أعلى النسب من الكربونات والفلدسبار (20-30٪) ومساحة حبيبات تتراوthing بين $12-5 \text{ جم / م}^2$.
 - المنطقة الرابعة: الكثبان الرملية في العراق وساحل البحر الأحمر هي أفضل الكسور ذات الحجم، مغروزة بشكل رديء، مع السيليكا النقية باعتدال (90-98٪)، وتحتوي على 6-19٪ من الكربونات والفلدسبار وأعلى ومساحة حبيبات تتراوthing بين $10-50 \text{ جم / م}^2$.
- في هذه الدراسة استنتجنا إن وجود كثبان هلامية عرض أقل من 40 م في أي منطقة ذات حركة سنوية سريعة 40-60 م وقرن ضيقه يشير إلى سرعة الرياح العالية وإمكانية أكبر لإنشاء مزارع الرياح لمحطات الطاقة المستقبلية. كثبان القطاع الأول (الشكل 4) هي رمال الكثبان الفضل من بين جميع القطاعات لتصنيع الزجاج والخلايا الكهروضوئية في المستقبل. أيضاً، تحتوي الكثبان في المنطقة الثالثة والرابعة على المزيد من الفلسبار والكربونات والمعادن الثقيلة والطينية مما يجعلها جيدة للزراعة ويمكن تثبيتها بواسطة مواد صديقة للبيئة أو نباتات محلية. هذا القطاع تحديداً يسهل تثبيت الكثبان الرملية بوسائل التثبيت الميكانيكية (التكسيه بالطين أو المخلفات الزراعية كجريدة النخل) والبيولوجية (التثبيت الزراعي) بالمقارنة مع القطاعات الأخرى. تراوحت معدلات هجرة الكثبان الرملية في منطقة الدراسة من 4 م سنة - 1 إلى 60 م سنة - 1 بمتوسط قيمة 24 متر في السنة، وتبيّن أن المعدل يعتمد بشدة على حجم الكثبان الرملية، أي الكثبان الرملية الصغيرة. كانت معدلات الهجرة أسرع. على الرغم من أن هذه العلاقة تم الإبلاغ عنها في دراسات

أخرى تتعلق بهجرات الكثبان الرملية في جزء مختلف من العالم، فإن التحليل الحالي يؤكد صحة هذه العلاقة للكثبان الرملية الكبيرة (< 40 م عرض). هذا يشير إلى وجود عوامل وليس حجم الكثبان الرملية التي تحكم في هجرة الكثبان الرملية.

References

- Aba, A., Al-Dousari, A. M., & Ismaeel, A. (2018). Atmospheric deposition fluxes of ^{137}Cs associated with dust fallout in the northeastern Arabian Gulf. *Journal of environmental radioactivity*, 192: 565-572.
- Aba, A., Al-Dousari, A. M., & Ismaeel, A. (2016). Depositional characteristics of ^{7}Be and ^{210}Pb in kuwaiti dust. *Journal of Radioanalytical and Nuclear Chemistry*, 307(1), 15-23.
- Ahmed, M., Al-Dousari, N., & Al-Dousari, A. (2016). The role of dominant perennial native plant species in controlling the mobile sand encroachment and fallen dust problem in Kuwait. *Arabian Journal of Geosciences*, 9(2), 134.
- Ahmed, M., & Al-Dousari, A. M. (2013). Geomorphological characteristics of the Um-Rimam depression in northern Kuwait. *Kuwait Journal of Science*, 40(1): 165-178.
- Ahmed, M. M., Al-Dousari, A. M., & Baby, S. (2009). Chemical and morphological characteristics of phytogenic mounds (Nabkhas) in Kuwait. *Arab Gulf Journal of Scientific Research*, 27(3), 114-126.
- Ahmed, M., & Al-Dousari, A. (2015). Rehabilitation of artificially degraded playa using palm mat water conservation techniques. *Journal of Agricultural Science and Technology A*, 5(2), 90-8.
- Al-Ajmi, D., Misak, R., Khalaf, F. I., Al-Sudairawi, M., & Al-Dousari, A. M. (1994). Damage assessment of the desert and coastal environment of Kuwait by remote sensing (VT001C). Report no. KISR 4405. *Kuwait Institute for Scientific Research, Kuwait*.
- Al-Awadhi, J. M., & Al-Dousari, A. M. (2013). Morphological characteristics and development of coastal nabkhas, north-east Kuwait. *International Journal of Earth Sciences*, 102(3), 949-958.
- Al-Awadhi, J. M., Al-Dousari, A., & Al-Enezi, A. (2000). Barchan dunes in northern Kuwait. *Arab Gulf Journal of Scientific Research*, 18(1), 32-40.
- Al-Dabi, H., Koch, M., Al-Sarawi, M & El-Baz, F. (1997). Evolution of sand dune patterns in space and time in north-western Kuwait using Landsat images. *Journal of Arid Environments*, 36, 15-24.
- Al-Dousari, A. M. (1998). *Textural characteristics and mineralogy of free dunes of the Al-Huwamiliyah-Al-Atraf zone in Kuwait*. Doctoral dissertation, MS thesis, Kuwait University, Kuwait.
- Al-Dousari, A. M., Misak, R., & Shahid, S. (2000). Soil compaction and sealing in Al-Salmi area, western Kuwait. *Land Degradation & Development*, 11(5), 401-418.
- Al-Dousari, A. M., & Pye, K. (2005). Mapping and monitoring of dunes in northwestern Kuwait. *Kuwait Journal of Science and Engineering*, 32(2), 119.
- Al-Dousari, A. M., Al-Enezi, A. K., & Al-Awadhi, J. (2008a). Textural variations within different representative types of dune sediments in Kuwait. *Arabian Journal of Geosciences*, 1(1), 17-31.
- Al-Dousari, A. M., Ahmed, M. O. D. I., Al-Senafy, M., & Al-Mutairi, M. (2008b). Characteristics of nabkhas in relation to dominant perennial plant species in Kuwait. *Kuwait Journal of Science and Engineering*, 35(1A), 129.
- Al-Dousari, A. M., Al-Elaj, M., Al-Enezi, E., & Al-Shareeda, A. (2009). Origin and characteristics of yardangs in the Um Al-Rimam depressions (N Kuwait). *Geomorphology*, 104(3-4), 93-104.
- Al-Dousari, A., Al-Nassar, W., Al-Hemoud, A., Alsaleh, A., Ramadan, A., Al-Dousari, N., & Ahmed, M. (2019a). Solar and wind energy: Challenges and solutions in desert regions. *Energy*, 176, 184-194.
- Al-Dousari, A. M., Ahmed, M., Al-Dousari, N., & Al-Awadhi, S. (2019b). Environmental and economic importance of native plants and green belts in controlling mobile sand and dust hazards. *International Journal of Environmental Science and Technology*, 16(5), 2415-2426.
- Al-Dousari, A., Al Saleh, A., Ahmed, M., Misak, R., Al Dousari, N., Al-Shatti, F., Elrawi, M., & William T. (2019c). Off-Road vehicle tracks and grazing points in relation to soil compaction and land degradation. *Earth system and environment*, 3(3), 471-482.
- Al-Dousari, A. M. (2005). Causes and indicators of land degradation in northwestern part of Kuwait. *Arab Gulf Journal of Scientific Research*, 23(2), 69-79.
- Al-Dousari, A. M., Ibrahim, M. I., Al-Dousari, N., Ahmed, M., & Al-Awadhi, S. (2018). Pollen in aeolian dust with relation to allergy and asthma in Kuwait. *Aerobiologia*, 34(3), 325-336.
- Al-Ghadban, Sayeed, T., Al-Dousari, A. M. Al-Shammari, H., & Al-Mutairi, M. (1999). Preliminary assessment of the impact of draining of Iraqi Marches on Kuwait's northern marine environment. Part I. Physical manipulation. *Water Science and Technology*, 40(7): 75-87.
- Alhazza, A., Ahmad, S., & Al-Dousari A. M. (2019). Characterization of sand particles in arid areas In *Exploring the Nexus of Geocology, Geography, Geoarcheology and Geotourism: Advances and Applications for Sustainable Development in Environmental Sciences and Agroforestry Research*. Springer, Cham.pp.335.
- Al-Dousari, A., Pye, K., Al-Hazza, A., Al-Shatti, F., Ahmed, M., Al-Dousari, N., & Rajab, M. (2020a). Nanosize inclusions as a fingerprint for Aeolian sediments. *Journal of Nanoparticle Research*, 22(5), 94.

- Al-Dousari A., Al-Nassar W., & Ahmed, M. (2020b). Photovoltaic and wind energy: Challenges and solutions in desert regions. The International Conference on Sustainable Futures: Environmental, Technological, Social and Economic Matters (ICSF 2020), E3S Web of Conferences 166, 04003.
- Al-Dousari, A., Ramadan, A., Al-Qattan, A., Al-Ateeqi, S., Dashti, H., Ahmed, M., Al-Dousari, N., Al-Hashash, N., & Othman, A. (2020c). Cost and effect of native vegetation change on aeolian sand, dust, microclimate and sustainable energy in Kuwait, Journal of Taibah University for Science, 14(1), 628-639.
- Al-Dousari, A., Omar, A., Al-Hemoud, A., Aba, A., Alrashedi, M., Alrawi, M., & William, T. (2022). A success story in controlling sand and dust storms hotspots in the middle east. *Atmosphere*, 13(8) .
- Al-Dousari, A. M. (2009). Recent studies on dust fallout within preserved and open areas in Kuwait. *Bhat NR Al-Nasser A, Omar S (eds) Desertification in arid lands. Institute for Scientific Research, Kuwait*, 137-147. KISR. Kuwait.
- Al-Enezi, E., Al-Dousari, A, & Al-Shammeri, F. (2014). Modeling Adsorption of inorganic phosphorous on dust fallout in Kuwait. *J Eng Res*. 2(2):1-14.
- Al-Ghadban, A. N., Saeed, T., Al-Refaiy, I., Al-Shemmar, H., Al-Mutairi, M., & Al-Dousari, A. M. (2000). The potential impact of draining the Iraqi marshes on the sediment budget and associated pollutants in the Northern Gulf. *Final Report, Kuwait Foundation for the Advancement of Sciences KISR*, 5782.
- Al-Kaabi, M. H. R. (2008). The desertification problem in Al-Muthanna Governorate and some environmental effects. M Sc, (In Arabic) College of Education, University of Basrah, 164-168.
- Al-Shemmar, H., Al-Dousari, A. M., Talebi, L., & A. N. Al-Ghadban, A. (2013). Mineralogical Characteristics of Surface Sediments along Sulaibikhat Bay, Kuwait. *Kuwait Journal of Science and Engineering*.40(2), 159-176.
- Awadh, S., M. (2012). Geochemistry and mineralogical composition of the airborne particles of sand dunes and dust storms settled in Iraq and their environmental impacts. *Environ Earth Sci.*, 66:2247–2256.
- Bamousa, A. O., Memesh, A., & Dini, S. (2014). Morphostructural evolution of Ath Thumamah depression, north Riyadh, Saudi Arabia. *Carbonates Evaporites*, 29, 65-72.
- Benaafi, M., & Abdullatif, O. (2015). Sedimentological, mineralogical, and geochemical characterization of sand dunes in Saudi Arabia. *Arab J Geosci* 8, 11073–11092.
- Doronzo, D. M., Al-Dousari, A. M., Folch, A., & Waldhauserova, P. D. (2016). Preface to the Dust Topical Collection. *Arab J Geosci*, 9:468.
- Doronzo, D.M., & Al-Dousari, A. (2019). Preface to Dust Events in the Environment. *Sustainability* ,11(3), 628.
- Dougrameji, J. (1984). The physical and mineralogical characteristics of some sand dunes in Iraq. Presented in the first Arabian Conference for dunes stabilization and desertification control, 14-22 October 1984, University of Baghdad: Iraq (in Arabic).
- Folk, R. L., & Ward, W. T. (1957). Brazos River bar: A study in the significance of grain-size parameters. *Journal of Sedimentary Petrology* 27, 3-26.
- Halos, S.H., Al-Dousari, A., Anwer, G.R. et al. (2021). Impact of PM2.5 concentration, weather and population on COVID-19 morbidity and mortality in Baghdad and Kuwait cities. *Model. Earth Syst. Environ.*
- Khan, N. Y., Saeed, T., Al-Ghadban, A. N., Beg, M. U., Jacob, P. G., Al-Dousari, A. M., Al-Shemmar, H., Al-Mutari, M., Al-Obaid, T., & Al-Matrouk, K. (1999). Assessment of sediment quality in Kuwait's territorial waters. Phase 1: Kuwait Bay. *Kuwait Institute for Scientific Research*.
- Khalaf, F. I., Misak, R., & Al-Dousari, A. (1995). Sedimentological and morphological characteristics of some nabkha deposits in the northern coastal plain of Kuwait, Arabia. *Journal of Arid Environments*, 29(3), 267-292.
- Lancaster, N., Singhvi, A. K., Teller, J. T., & Pandey, V. (2004). Age and paleowind regime of linear dunes in the northern Rub al Khali. *Geological Society of America Abstracts with Programs*. 36:5 p. 122
- Misak, R., Al-Dousari, A., & Al-Hagraf, S. (2007). Combating land degradation using eco-friendly materials. In *International conference on desertification control in the arid region, May* (pp. 12-15).
- Neelamani, S., & Al-Dousari, A. M. (2016). A study on the annual fallout of the dust and the associated elements into the Kuwait Bay. *Arabian Journal of Geosciences*, KISR: 12706. 9(3).
- Pye, K. & Tsoar, H. (1990). Aeolian sand and sand dunes. Unwin Hyman, London.
- Skocek. V., & Saadallah A. A. (1972). Grain-size distribution, carbonate content and heavy minerals in eolian sands, southern desert, Iraq. *Sedimentary Geology*. 8:29-46.
- Subramaniam, N., Al-Sudairawi, M., Al-Dousari, A., & Al-Dousari, N. 2015. Probability distribution and extreme value analysis of total suspended particulate matter in Kuwait. *Arabian Journal of Geosciences*, 16, 12650.
- Tang, H. & Al-Dousari, A. M. (2006). Air pollution background study in bubiyan island of kuwait. *International Journal of Sustainable Development and Planning*, 1(3), 326-341.
- Wolfe, A.S. (1997). Impact of increased aridity on sand dune activity in the Canadian Prairies. *Journal of Arid Environments* 36, 421-432.